Eingabe: Farbmetrisches Offset-Reflektiv-System ORS18

für Buntton *h* = lab*h = 38/360 = 0.105*
*lab*tch* und *lab*nch*

D50: Buntton O
LCH*Ma: 48 82 38
olv*Ma: 1.0 0.0 0.0

Dreiecks-Helligkeit *t**

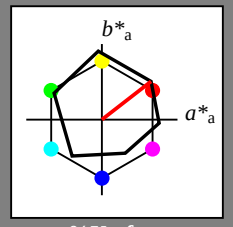

%Umfang

u*$_{rel}$ = 94

ORS18; adaptierte CIELAB-Daten

	$L^*=L^*_a$	a^*_a	b^*_a	$C^*_{ab,a}$	$h^*_{ab,a}$
O_{Ma}	47.94	65.05	50.54	82.38	38
Y_{Ma}	91.0	−4.72	90.58	90.7	93
L_{Ma}	50.9	−63.18	34.98	72.22	151
C_{Ma}	56.99	−39.34	−48.1	62.16	231
V_{Ma}	25.72	30.89	−44.4	54.09	305
M_{Ma}	49.99	75.76	−4.64	75.9	356
N_{Ma}	18.09	0.0	0.0	0.0	0
W_{Ma}	95.46	0.0	0.0	0.0	0
R_{CIE}	41.88	61.66	30.69	68.88	26
J_{CIE}	81.97	2.02	67.79	67.82	88
G_{CIE}	51.62	−41.32	9.74	42.46	167
B_{CIE}	29.2	−5.79	−49.61	49.96	263

1,00

%Regularität

g*$_{H,rel}$ = 65

g*$_{C,rel}$ = 60

0,75

0,25

0,00

0,25 0,50 0,75 1,00

Schwarzheit *n**

relative Buntheit *c**

*n** = 1,0 *n** = 0,75 *n** = 0,50 *n** = 0,25 *n** = 0,00

PG500−7, 5 stufige Reihen für konstanten CIELAB Buntton 38/360 = 0.105 (links)

Ausgabe: Farbmetrisches Fernseh-Licht-System TLS00

für Buntton *h* = lab*h = 38/360 = 0.107*
*lab*tch* und *lab*nch*

D50: Buntton O
LCH*Ma: 54 101 38
olv*Ma: 1.0 0.0 0.0

Dreiecks-Helligkeit *t**

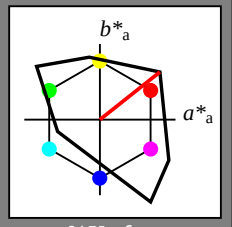

%Umfang

u*$_{rel}$ = 156

TLS00; adaptierte CIELAB-Daten

	$L^*=L^*_a$	a^*_a	b^*_a	$C^*_{ab,a}$	$h^*_{ab,a}$
O_{Ma}	54.19	79.36	63.0	101.33	38
Y_{Ma}	93.44	−14.18	82.59	83.8	100
L_{Ma}	82.82	−83.73	70.41	109.41	140
C_{Ma}	85.22	−55.9	−15.78	58.1	196
V_{Ma}	25.61	67.05	−108.87	127.87	302
M_{Ma}	58.76	91.18	−53.69	105.82	330
N_{Ma}	0.01	0.0	0.0	0.0	0
W_{Ma}	95.41	0.0	0.0	0.0	0
R_{CIE}	41.88	62.0	31.82	69.69	27
J_{CIE}	81.97	1.81	71.59	71.61	89
G_{CIE}	51.62	−41.11	11.52	42.7	164
B_{CIE}	29.2	−5.27	−49.33	49.62	264

%Regularität

g*$_{H,rel}$ = 26

g*$_{C,rel}$ = 45

Schwarzheit *n**

relative Buntheit *c**

*n** = 1,0 *n** = 0,75 *n** = 0,50 *n** = 0,25 *n** = 0,00

5 stufige Reihen für konstanten CIELAB Buntton 38/360 = 0.107 (rechts)

Eingabe: Farbmetrisches Offset-Reflektiv-System ORS18

für Buntton *h* = lab*h = 93/360 = 0.258*
*lab*tch* und *lab*nch*

D50: Buntton Y
LCH*Ma: 91 91 93
olv*Ma: 1.0 1.0 0.0

Dreiecks-Helligkeit *t**

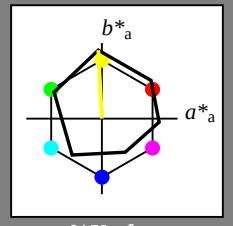

%Umfang
u*rel = 94

%Regularität
g*H,rel = 65
g*C,rel = 60

ORS18; adaptierte CIELAB-Daten

	L*=L*a	a*a	b*a	C*ab,a	h*ab,a
O_{Ma}	47.94	65.05	50.54	82.38	38
Y_{Ma}	91.0	−4.72	90.58	90.7	93
L_{Ma}	50.9	−63.18	34.98	72.22	151
C_{Ma}	56.99	−39.34	−48.1	62.16	231
V_{Ma}	25.72	30.89	−44.4	54.09	305
M_{Ma}	49.99	75.76	−4.64	75.9	356
N_{Ma}	18.09	0.0	0.0	0.0	0
W_{Ma}	95.46	0.0	0.0	0.0	0
R_{CIE}	41.88	61.66	30.69	68.88	26
J_{CIE}	81.97	2.02	67.79	67.82	88
G_{CIE}	51.62	−41.32	9.74	42.46	167
B_{CIE}	29.2	−5.79	−49.61	49.96	263

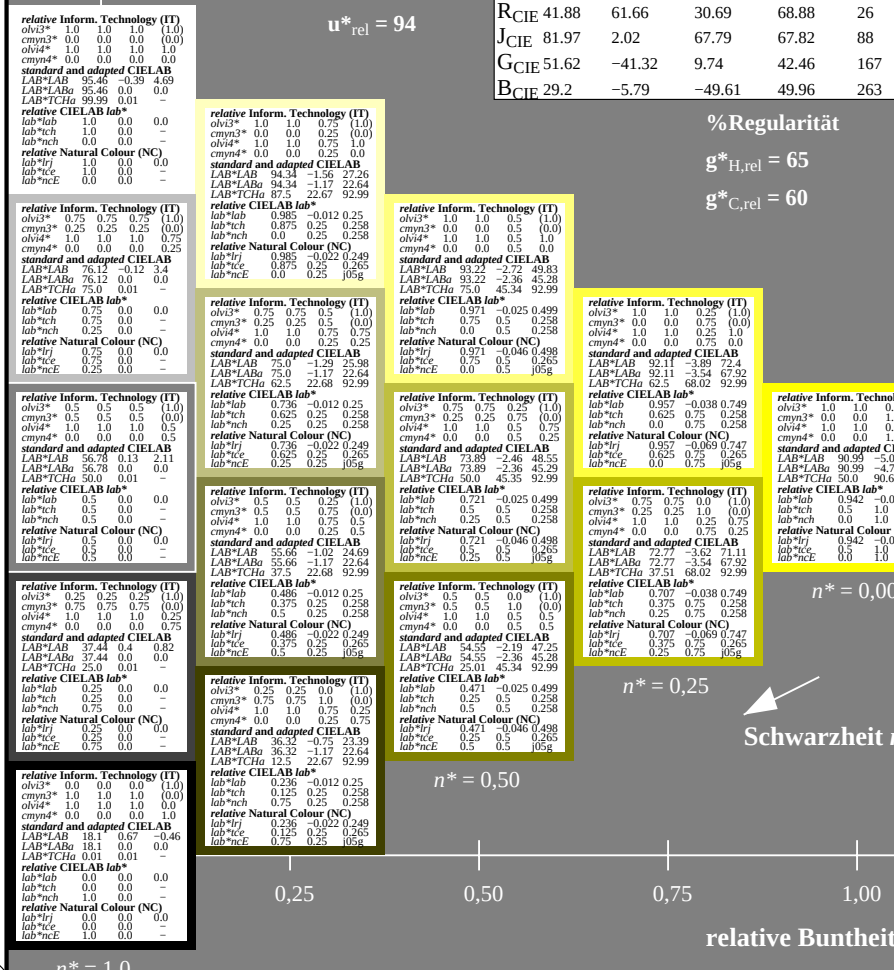

PG500−7, 5 stufige Reihen für konstanten CIELAB Buntton 93/360 = 0.258 (links)

Ausgabe: Farbmetrisches Fernseh-Licht-System TLS00

für Buntton *h* = lab*h = 100/360 = 0.277*
*lab*tch* und *lab*nch*

D50: Buntton Y
LCH*Ma: 93 84 100
olv*Ma: 1.0 1.0 0.0

Dreiecks-Helligkeit *t**

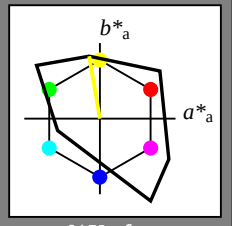

%Umfang
u*rel = 156

%Regularität
g*H,rel = 26
g*C,rel = 45

TLS00; adaptierte CIELAB-Daten

	L*=L*a	a*a	b*a	C*ab,a	h*ab,a
O_{Ma}	54.19	79.36	63.0	101.33	38
Y_{Ma}	93.44	−14.18	82.59	83.8	100
L_{Ma}	82.82	−83.73	70.41	109.41	140
C_{Ma}	85.22	−55.9	−15.78	58.1	196
V_{Ma}	25.61	67.05	−108.87	127.87	302
M_{Ma}	58.76	91.18	−53.69	105.82	330
N_{Ma}	0.01	0.0	0.0	0.0	0
W_{Ma}	95.41	0.0	0.0	0.0	0
R_{CIE}	41.88	62.0	31.82	69.69	27
J_{CIE}	81.97	1.81	71.59	71.61	89
G_{CIE}	51.62	−41.11	11.52	42.7	164
B_{CIE}	29.2	−5.27	−49.33	49.62	264

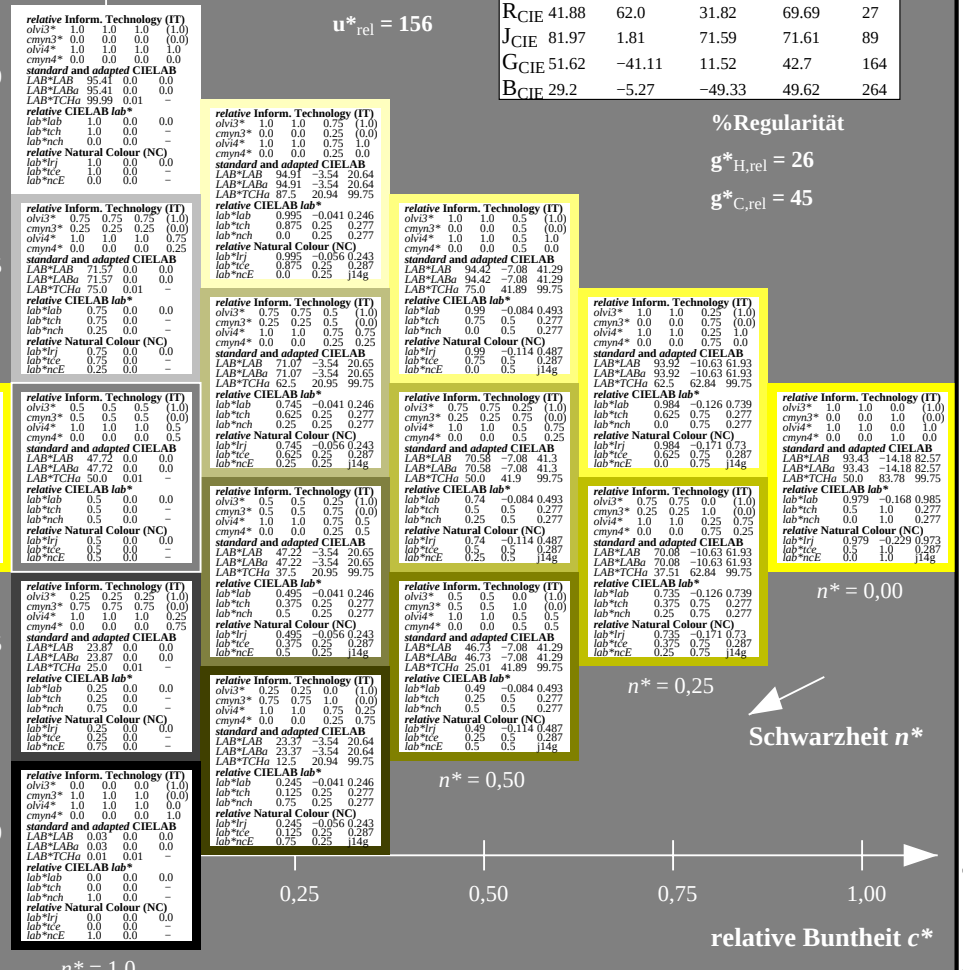

5 stufige Reihen für konstanten CIELAB Buntton 100/360 = 0.277 (rechts)

Eingabe: Farbmetrisches Offset-Reflektiv-System ORS18

für Buntton *h* = lab*h = 151/360 = 0.42*
*lab*tch* und *lab*nch*

D50: Buntton L
LCH*Ma: 51 72 151
olv*Ma: 0.0 1.0 0.0

Dreiecks-Helligkeit *t**

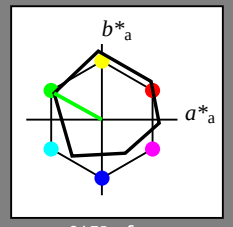

%Umfang

u*$_{rel}$ = 94

ORS18; adaptierte CIELAB-Daten

	L*=L*$_a$	a*$_a$	b*$_a$	C*$_{ab,a}$	h*$_{ab,a}$
O_{Ma}	47.94	65.05	50.54	82.38	38
Y_{Ma}	91.0	−4.72	90.58	90.7	93
L_{Ma}	50.9	−63.18	34.98	72.22	151
C_{Ma}	56.99	−39.34	−48.1	62.16	231
V_{Ma}	25.72	30.89	−44.4	54.09	305
M_{Ma}	49.99	75.76	−4.64	75.9	356
N_{Ma}	18.09	0.0	0.0	0.0	0
W_{Ma}	95.46	0.0	0.0	0.0	0
R_{CIE}	41.88	61.66	30.69	68.88	26
J_{CIE}	81.97	2.02	67.79	67.82	88
G_{CIE}	51.62	−41.32	9.74	42.46	167
B_{CIE}	29.2	−5.79	−49.61	49.96	263

%Regularität

g*$_{H,rel}$ = 65

g*$_{C,rel}$ = 60

1,00
0,75
0,25
0,00

n* = 0,00
n* = 0,25
n* = 0,50
n* = 1,0

Schwarzheit *n**

0,25 0,50 0,75 1,00

relative Buntheit *c**

Ausgabe: Farbmetrisches Fernseh-Licht-System TLS00

für Buntton *h* = lab*h = 140/360 = 0.389*
*lab*tch* und *lab*nch*

D50: Buntton L
LCH*Ma: 83 109 140
olv*Ma: 0.0 1.0 0.0

Dreiecks-Helligkeit *t**

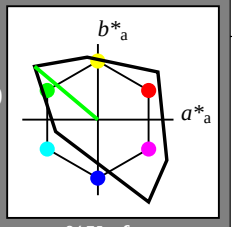

%Umfang

u*$_{rel}$ = 156

TLS00; adaptierte CIELAB-Daten

	L*=L*$_a$	a*$_a$	b*$_a$	C*$_{ab,a}$	h*$_{ab,a}$
O_{Ma}	54.19	79.36	63.0	101.33	38
Y_{Ma}	93.44	−14.18	82.59	83.8	100
L_{Ma}	82.82	−83.73	70.41	109.41	140
C_{Ma}	85.22	−55.9	−15.78	58.1	196
V_{Ma}	25.61	67.05	−108.87	127.87	302
M_{Ma}	58.76	91.18	−53.69	105.82	330
N_{Ma}	0.01	0.0	0.0	0.0	0
W_{Ma}	95.41	0.0	0.0	0.0	0
R_{CIE}	41.88	62.0	31.82	69.69	27
J_{CIE}	81.97	1.81	71.59	71.61	89
G_{CIE}	51.62	−41.11	11.52	42.7	164
B_{CIE}	29.2	−5.27	−49.33	49.62	264

%Regularität

g*$_{H,rel}$ = 26

g*$_{C,rel}$ = 45

1,00
0,75
0,25
0,00

n* = 0,00
n* = 0,25
n* = 0,50
n* = 1,0

Schwarzheit *n**

0,25 0,50 0,75 1,00

relative Buntheit *c**

PG500−7, 5 stufige Reihen für konstanten CIELAB Buntton 151/360 = 0.42 (links)

5 stufige Reihen für konstanten CIELAB Buntton 140/360 = 0.389 (rechts)

BAM-Prüfvorlage PG50; Farbmetrik-Systeme ORS18 & ORS18 input: *olv* setrgbcolor*
D50: 2 Koordinatendaten; 5stufige Farbreihen für 10 Bunttöne output: *Startup (S) data dependend*

Eingabe: Farbmetrisches Offset-Reflektiv-System ORS18

für Buntton *h* = lab*h = 231/360 = 0.641*
*lab*tch* und *lab*nch*

D50: Buntton C
LCH*Ma: 57 62 231
olv*Ma: 0.0 1.0 1.0

Dreiecks-Helligkeit *t**

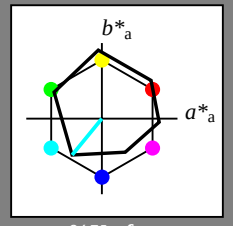

%Umfang

u*$_{rel}$ = 94

ORS18; adaptierte CIELAB-Daten

	L*=L*$_a$	a*$_a$	b*$_a$	C*$_{ab,a}$	h*$_{ab,a}$
O$_{Ma}$	47.94	65.05	50.54	82.38	38
Y$_{Ma}$	91.0	−4.72	90.58	90.7	93
L$_{Ma}$	50.9	−63.18	34.98	72.22	151
C$_{Ma}$	56.99	−39.34	−48.1	62.16	231
V$_{Ma}$	25.72	30.89	−44.4	54.09	305
M$_{Ma}$	49.99	75.76	−4.64	75.9	356
N$_{Ma}$	18.09	0.0	0.0	0.0	0
W$_{Ma}$	95.46	0.0	0.0	0.0	0
R$_{CIE}$	41.88	61.66	30.69	68.88	26
J$_{CIE}$	81.97	2.02	67.79	67.82	88
G$_{CIE}$	51.62	−41.32	9.74	42.46	167
B$_{CIE}$	29.2	−5.79	−49.61	49.96	263

%Regularität

g*$_{H,rel}$ = 65

g*$_{C,rel}$ = 60

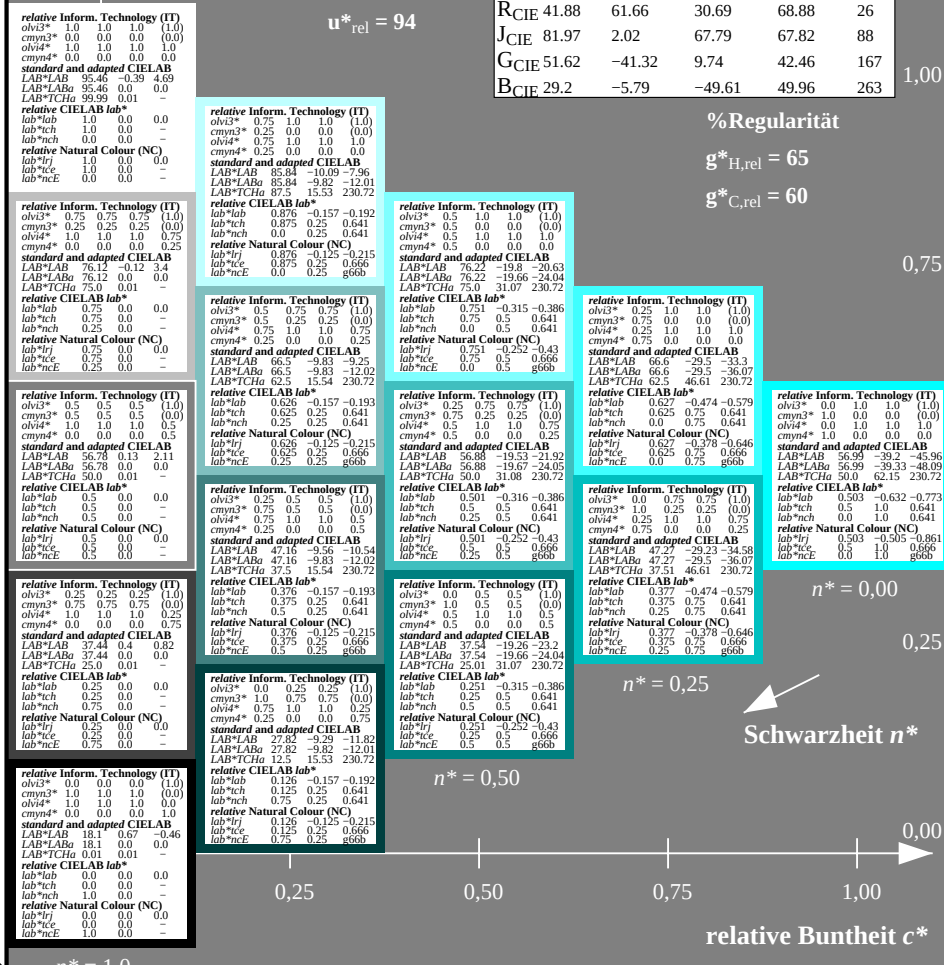

Ausgabe: Farbmetrisches Fernseh-Licht-System TLS00

für Buntton *h* = lab*h = 196/360 = 0.544*
*lab*tch* und *lab*nch*

D50: Buntton C
LCH*Ma: 85 58 196
olv*Ma: 0.0 1.0 1.0

Dreiecks-Helligkeit *t**

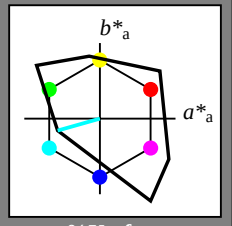

%Umfang

u*$_{rel}$ = 156

TLS00; adaptierte CIELAB-Daten

	L*=L*$_a$	a*$_a$	b*$_a$	C*$_{ab,a}$	h*$_{ab,a}$
O$_{Ma}$	54.19	79.36	63.0	101.33	38
Y$_{Ma}$	93.44	−14.18	82.59	83.8	100
L$_{Ma}$	82.82	−83.73	70.41	109.41	140
C$_{Ma}$	85.22	−55.9	−15.78	58.1	196
V$_{Ma}$	25.61	67.05	−108.87	127.87	302
M$_{Ma}$	58.76	91.18	−53.69	105.82	330
N$_{Ma}$	0.01	0.0	0.0	0.0	0
W$_{Ma}$	95.41	0.0	0.0	0.0	0
R$_{CIE}$	41.88	62.0	31.82	69.69	27
J$_{CIE}$	81.97	1.81	71.59	71.61	89
G$_{CIE}$	51.62	−41.11	11.52	42.7	164
B$_{CIE}$	29.2	−5.27	−49.33	49.62	264

%Regularität

g*$_{H,rel}$ = 26

g*$_{C,rel}$ = 45

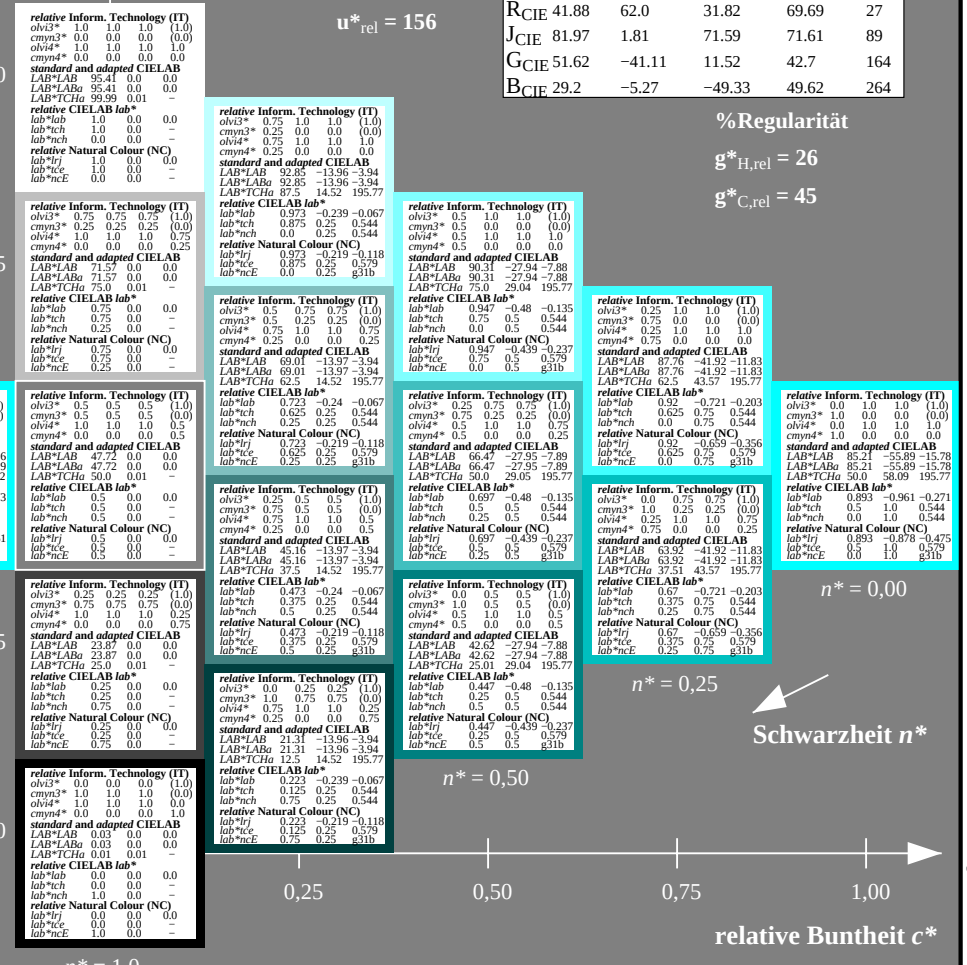

PG500−7, 5 stufige Reihen für konstanten CIELAB Buntton 231/360 = 0.641 (links)

5 stufige Reihen für konstanten CIELAB Buntton 196/360 = 0.544 (rechts)

Eingabe: Farbmetrisches Offset-Reflektiv-System ORS18

für Buntton *h* = lab*h = 305/360 = 0.847*
*lab*tch* und *lab*nch*

D50: Buntton V
LCH*Ma: 26 54 305
olv*Ma: 0.0 0.0 1.0

Dreiecks-Helligkeit *t**

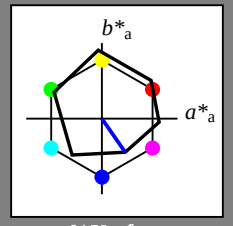

%Umfang

u*$_{rel}$ = 94

ORS18; adaptierte CIELAB-Daten

	L*=L*a	a*a	b*a	C*ab,a	h*ab,a
O_{Ma}	47.94	65.05	50.54	82.38	38
Y_{Ma}	91.0	−4.72	90.58	90.7	93
L_{Ma}	50.9	−63.18	34.98	72.22	151
C_{Ma}	56.99	−39.34	−48.1	62.16	231
V_{Ma}	25.72	30.89	−44.4	54.09	305
M_{Ma}	49.99	75.76	−4.64	75.9	356
N_{Ma}	18.09	0.0	0.0	0.0	0
W_{Ma}	95.46	0.0	0.0	0.0	0
R_{CIE}	41.88	61.66	30.69	68.88	26
J_{CIE}	81.97	2.02	67.79	67.82	88
G_{CIE}	51.62	−41.32	9.74	42.46	167
B_{CIE}	29.2	−5.79	−49.61	49.96	263

%Regularität

g*$_{H,rel}$ = 65

g*$_{C,rel}$ = 60

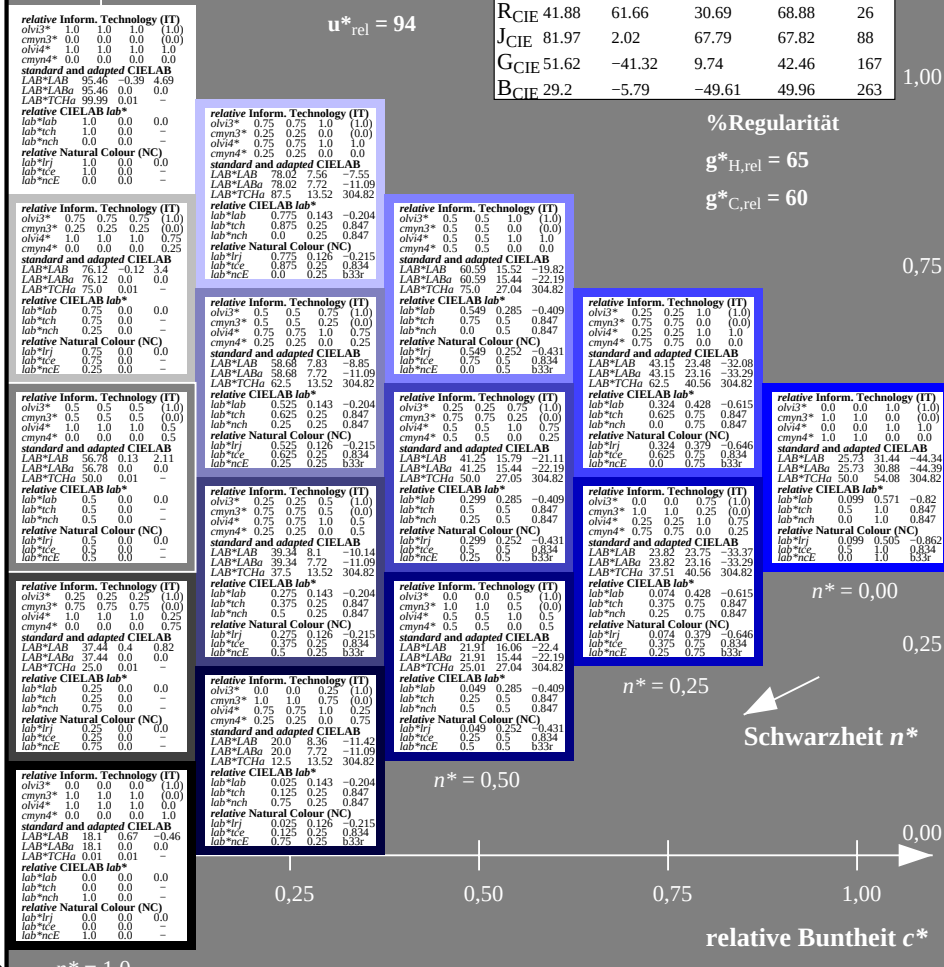

Ausgabe: Farbmetrisches Fernseh-Licht-System TLS00

für Buntton *h* = lab*h = 302/360 = 0.838*
*lab*tch* und *lab*nch*

D50: Buntton V
LCH*Ma: 26 128 302
olv*Ma: 0.0 0.0 1.0

Dreiecks-Helligkeit *t**

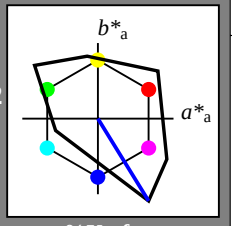

%Umfang

u*$_{rel}$ = 156

TLS00; adaptierte CIELAB-Daten

	L*=L*a	a*a	b*a	C*ab,a	h*ab,a
O_{Ma}	54.19	79.36	63.0	101.33	38
Y_{Ma}	93.44	−14.18	82.59	83.8	100
L_{Ma}	82.82	−83.73	70.41	109.41	140
C_{Ma}	85.22	−55.9	−15.78	58.1	196
V_{Ma}	25.61	67.05	−108.87	127.87	302
M_{Ma}	58.76	91.18	−53.69	105.82	330
N_{Ma}	0.01	0.0	0.0	0.0	0
W_{Ma}	95.41	0.0	0.0	0.0	0
R_{CIE}	41.88	62.0	31.82	69.69	27
J_{CIE}	81.97	1.81	71.59	71.61	89
G_{CIE}	51.62	−41.11	11.52	42.7	164
B_{CIE}	29.2	−5.27	−49.33	49.62	264

%Regularität

g*$_{H,rel}$ = 26

g*$_{C,rel}$ = 45

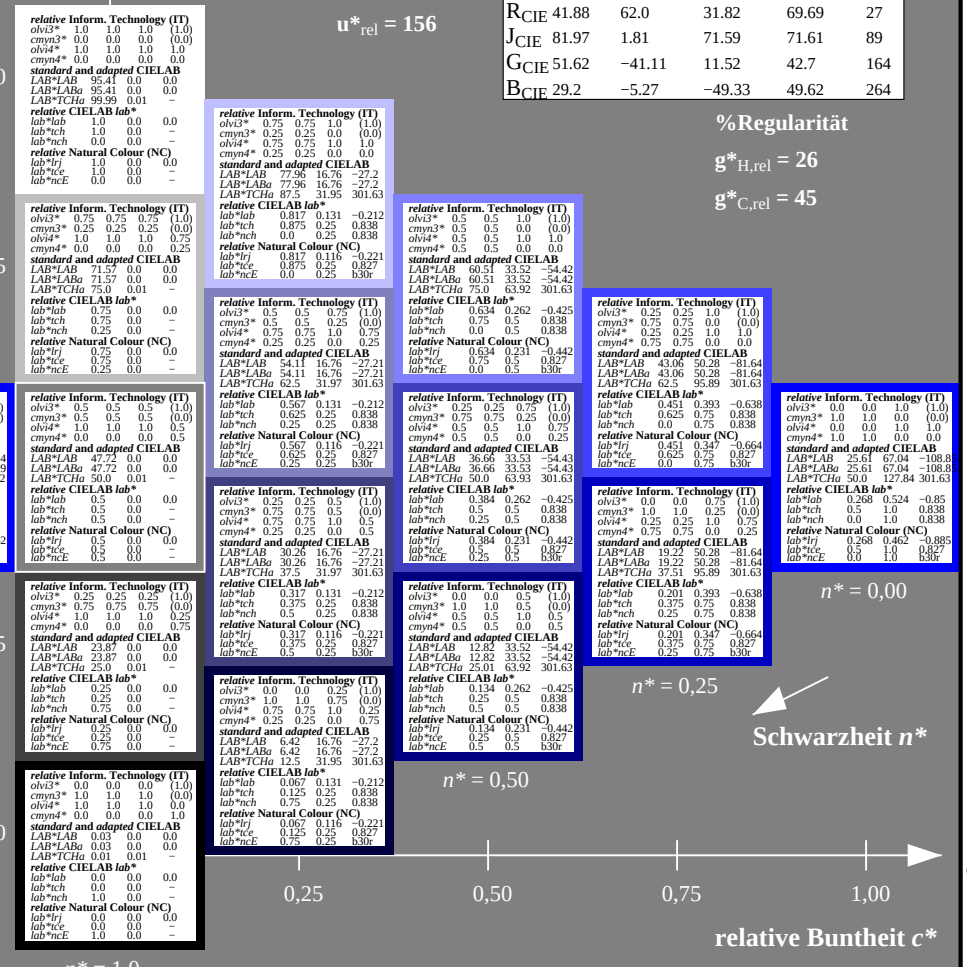

PG500−7, 5 stufige Reihen für konstanten CIELAB Buntton 305/360 = 0.847 (links)

5 stufige Reihen für konstanten CIELAB Buntton 302/360 = 0.838 (rechts)

Eingabe: Farbmetrisches Offset-Reflektiv-System ORS18

für Buntton *h* = lab*h = 356/360 = 0.99*
*lab*tch* und *lab*nch*

D50: Buntton M
LCH*Ma: 50 76 356
olv*Ma: 1.0 0.0 1.0

Dreiecks-Helligkeit *t**

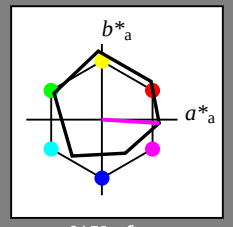

%Umfang

u*$_{rel}$ = 94

ORS18; adaptierte CIELAB-Daten

	L*=L*$_a$	a*$_a$	b*$_a$	C*$_{ab,a}$	h*$_{ab,a}$
O$_{Ma}$	47.94	65.05	50.54	82.38	38
Y$_{Ma}$	91.0	−4.72	90.58	90.7	93
L$_{Ma}$	50.9	−63.18	34.98	72.22	151
C$_{Ma}$	56.99	−39.34	−48.1	62.16	231
V$_{Ma}$	25.72	30.89	−44.4	54.09	305
M$_{Ma}$	49.99	75.76	−4.64	75.9	356
N$_{Ma}$	18.09	0.0	0.0	0.0	0
W$_{Ma}$	95.46	0.0	0.0	0.0	0
R$_{CIE}$	41.88	61.66	30.69	68.88	26
J$_{CIE}$	81.97	2.02	67.79	67.82	88
G$_{CIE}$	51.62	−41.32	9.74	42.46	167
B$_{CIE}$	29.2	−5.79	−49.61	49.96	263

%Regularität

g*$_{H,rel}$ = 65

g*$_{C,rel}$ = 60

1,00
0,75
0,25
0,00
n* = 0,00
n* = 0,25
n* = 0,50
n* = 1,0
Schwarzheit *n**
0,25
0,50
0,75
1,00
relative Buntheit *c**

Ausgabe: Farbmetrisches Fernseh-Licht-System TLS00

für Buntton *h* = lab*h = 330/360 = 0.915*
*lab*tch* und *lab*nch*

D50: Buntton M
LCH*Ma: 59 106 330
olv*Ma: 1.0 0.0 1.0

Dreiecks-Helligkeit *t**

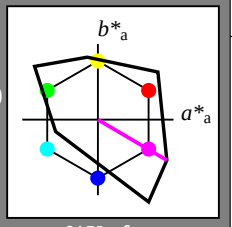

%Umfang

u*$_{rel}$ = 156

TLS00; adaptierte CIELAB-Daten

	L*=L*$_a$	a*$_a$	b*$_a$	C*$_{ab,a}$	h*$_{ab,a}$
O$_{Ma}$	54.19	79.36	63.0	101.33	38
Y$_{Ma}$	93.44	−14.18	82.59	83.8	100
L$_{Ma}$	82.82	−83.73	70.41	109.41	140
C$_{Ma}$	85.22	−55.9	−15.78	58.1	196
V$_{Ma}$	25.61	67.05	−108.87	127.87	302
M$_{Ma}$	58.76	91.18	−53.69	105.82	330
N$_{Ma}$	0.01	0.0	0.0	0.0	0
W$_{Ma}$	95.41	0.0	0.0	0.0	0
R$_{CIE}$	41.88	62.0	31.82	69.69	27
J$_{CIE}$	81.97	1.81	71.59	71.61	89
G$_{CIE}$	51.62	−41.11	11.52	42.7	164
B$_{CIE}$	29.2	−5.27	−49.33	49.62	264

%Regularität

g*$_{H,rel}$ = 26

g*$_{C,rel}$ = 45

1,00
0,75
0,25
0,00
n* = 0,00
n* = 0,25
n* = 0,50
n* = 1,0
Schwarzheit *n**
0,25
0,50
0,75
1,00
relative Buntheit *c**

PG500−7, 5 stufige Reihen für konstanten CIELAB Buntton 356/360 = 0.99 (links) 5 stufige Reihen für konstanten CIELAB Buntton 330/360 = 0.915 (rechts)

Eingabe: Farbmetrisches Offset-Reflektiv-System ORS18

für Buntton *h* = lab*h = 26/360 = 0.074*
*lab*tch* und *lab*nch*

D50: Buntton R
LCH*Ma: 49 76 26
olv*Ma: 1.0 0.0 0.3

Dreiecks-Helligkeit *t**

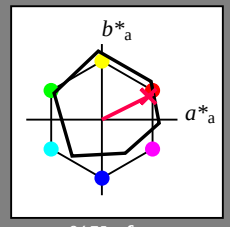

%Umfang

u*rel = 94

%Regularität

g*H,rel = 65

g*C,rel = 60

ORS18; adaptierte CIELAB-Daten

	L*=L*a	a*a	b*a	C*ab,a	h*ab,a
O_{Ma}	47.94	65.05	50.54	82.38	38
Y_{Ma}	91.0	−4.72	90.58	90.7	93
L_{Ma}	50.9	−63.18	34.98	72.22	151
C_{Ma}	56.99	−39.34	−48.1	62.16	231
V_{Ma}	25.72	30.89	−44.4	54.09	305
M_{Ma}	49.99	75.76	−4.64	75.9	356
N_{Ma}	18.09	0.0	0.0	0.0	0
W_{Ma}	95.46	0.0	0.0	0.0	0
R_{CIE}	41.88	61.66	30.69	68.88	26
J_{CIE}	81.97	2.02	67.79	67.82	88
G_{CIE}	51.62	−41.32	9.74	42.46	167
B_{CIE}	29.2	−5.79	−49.61	49.96	263

Schwarzheit *n**

relative Buntheit *c**

*n** = 1,0 | *n** = 0,75 | *n** = 0,50 | *n** = 0,25 | *n** = 0,00

0,25 | 0,50 | 0,75 | 1,00

PG500−7, 5 stufige Reihen für konstanten CIELAB Buntton 26/360 = 0.074 (links)

Ausgabe: Farbmetrisches Fernseh-Licht-System TLS00

für Buntton *h* = lab*h = 27/360 = 0.075*
*lab*tch* und *lab*nch*

D50: Buntton R
LCH*Ma: 55 92 27
olv*Ma: 1.0 0.0 0.18

Dreiecks-Helligkeit *t**

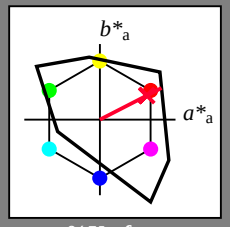

%Umfang

u*rel = 156

%Regularität

g*H,rel = 26

g*C,rel = 45

TLS00; adaptierte CIELAB-Daten

	L*=L*a	a*a	b*a	C*ab,a	h*ab,a
O_{Ma}	54.19	79.36	63.0	101.33	38
Y_{Ma}	93.44	−14.18	82.59	83.8	100
L_{Ma}	82.82	−83.73	70.41	109.41	140
C_{Ma}	85.22	−55.9	−15.78	58.1	196
V_{Ma}	25.61	67.05	−108.87	127.87	302
M_{Ma}	58.76	91.18	−53.69	105.82	330
N_{Ma}	0.01	0.0	0.0	0.0	0
W_{Ma}	95.41	0.0	0.0	0.0	0
R_{CIE}	41.88	62.0	31.82	69.69	27
J_{CIE}	81.97	1.81	71.59	71.61	89
G_{CIE}	51.62	−41.11	11.52	42.7	164
B_{CIE}	29.2	−5.27	−49.33	49.62	264

Schwarzheit *n**

relative Buntheit *c**

*n** = 1,0 | *n** = 0,75 | *n** = 0,50 | *n** = 0,25 | *n** = 0,00

0,25 | 0,50 | 0,75 | 1,00

5 stufige Reihen für konstanten CIELAB Buntton 27/360 = 0.075 (rechts)

Eingabe: Farbmetrisches Offset-Reflektiv-System ORS18

für Buntton *h* = lab*h = 88/360 = 0.245*
*lab*tch* und *lab*nch*

D50: Buntton J
LCH*Ma: 86 86 88
olv*Ma: 1.0 0.9 0.0

Dreiecks-Helligkeit *t**

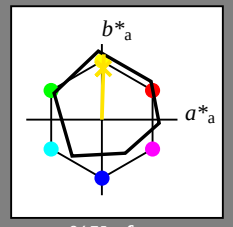

%Umfang
u*$_{rel}$ = 94

ORS18; adaptierte CIELAB-Daten

	L*=L*$_a$	a*$_a$	b*$_a$	C*$_{ab,a}$	h*$_{ab,a}$
O$_{Ma}$	47.94	65.05	50.54	82.38	38
Y$_{Ma}$	91.0	−4.72	90.58	90.7	93
L$_{Ma}$	50.9	−63.18	34.98	72.22	151
C$_{Ma}$	56.99	−39.34	−48.1	62.16	231
V$_{Ma}$	25.72	30.89	−44.4	54.09	305
M$_{Ma}$	49.99	75.76	−4.64	75.9	356
N$_{Ma}$	18.09	0.0	0.0	0.0	0
W$_{Ma}$	95.46	0.0	0.0	0.0	0
R$_{CIE}$	41.88	61.66	30.69	68.88	26
J$_{CIE}$	81.97	2.02	67.79	67.82	88
G$_{CIE}$	51.62	−41.32	9.74	42.46	167
B$_{CIE}$	29.2	−5.79	−49.61	49.96	263

%Regularität
g*$_{H,rel}$ = 65
g*$_{C,rel}$ = 60

1,00
0,75
0,25
0,00

n* = 0,00
n* = 0,25
n* = 0,50
n* = 1,0

0,25 0,50 0,75 1,00
Schwarzheit *n**
relative Buntheit *c**

Ausgabe: Farbmetrisches Fernseh-Licht-System TLS00

für Buntton *h* = lab*h = 89/360 = 0.246*
*lab*tch* und *lab*nch*

D50: Buntton J
LCH*Ma: 87 79 89
olv*Ma: 1.0 0.83 0.0

Dreiecks-Helligkeit *t**

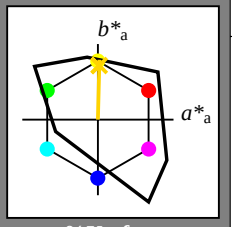

%Umfang
u*$_{rel}$ = 156

TLS00; adaptierte CIELAB-Daten

	L*=L*$_a$	a*$_a$	b*$_a$	C*$_{ab,a}$	h*$_{ab,a}$
O$_{Ma}$	54.19	79.36	63.0	101.33	38
Y$_{Ma}$	93.44	−14.18	82.59	83.8	100
L$_{Ma}$	82.82	−83.73	70.41	109.41	140
C$_{Ma}$	85.22	−55.9	−15.78	58.1	196
V$_{Ma}$	25.61	67.05	−108.87	127.87	302
M$_{Ma}$	58.76	91.18	−53.69	105.82	330
N$_{Ma}$	0.01	0.0	0.0	0.0	0
W$_{Ma}$	95.41	0.0	0.0	0.0	0
R$_{CIE}$	41.88	62.0	31.82	69.69	27
J$_{CIE}$	81.97	1.81	71.59	71.61	89
G$_{CIE}$	51.62	−41.11	11.52	42.7	164
B$_{CIE}$	29.2	−5.27	−49.33	49.62	264

%Regularität
g*$_{H,rel}$ = 26
g*$_{C,rel}$ = 45

n* = 0,00
n* = 0,25
n* = 0,50
n* = 1,0

0,25 0,50 0,75 1,00
Schwarzheit *n**
relative Buntheit *c**

PG500−7, 5 stufige Reihen für konstanten CIELAB Buntton 88/360 = 0.245 (links)
5 stufige Reihen für konstanten CIELAB Buntton 89/360 = 0.246 (rechts)

Eingabe: Farbmetrisches Offset-Reflektiv-System ORS18

für Buntton $h^* = lab^*h = 167/360 = 0.463$
*lab*tch* und *lab*nch*

D50: Buntton G
LCH*Ma: 52 59 167
olv*Ma: 0.0 1.0 0.26

Dreiecks-Helligkeit *t**

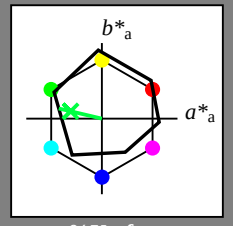

%Umfang
u*rel = 94

ORS18; adaptierte CIELAB-Daten

	L*=L*a	a*a	b*a	C*ab,a	h*ab,a
O_{Ma}	47.94	65.05	50.54	82.38	38
Y_{Ma}	91.0	−4.72	90.58	90.7	93
L_{Ma}	50.9	−63.18	34.98	72.22	151
C_{Ma}	56.99	−39.34	−48.1	62.16	231
V_{Ma}	25.72	30.89	−44.4	54.09	305
M_{Ma}	49.99	75.76	−4.64	75.9	356
N_{Ma}	18.09	0.0	0.0	0.0	0
W_{Ma}	95.46	0.0	0.0	0.0	0
R_{CIE}	41.88	61.66	30.69	68.88	26
J_{CIE}	81.97	2.02	67.79	67.82	88
G_{CIE}	51.62	−41.32	9.74	42.46	167
B_{CIE}	29.2	−5.79	−49.61	49.96	263

1,00
%Regularität
g*H,rel = 65
g*C,rel = 60
0,75
0,50
0,25
0,00
Schwarzheit *n**
relative Buntheit *c**
0,25
0,50
0,75
1,00
*n** = 1,0
*n** = 0,75
*n** = 0,50
*n** = 0,25
*n** = 0,00

Ausgabe: Farbmetrisches Fernseh-Licht-System TLS00

für Buntton $h^* = lab^*h = 164/360 = 0.457$
*lab*tch* und *lab*nch*

D50: Buntton G
LCH*Ma: 84 70 164
olv*Ma: 0.0 1.0 0.6

Dreiecks-Helligkeit *t**

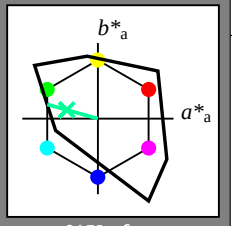

%Umfang
u*rel = 156

TLS00; adaptierte CIELAB-Daten

	L*=L*a	a*a	b*a	C*ab,a	h*ab,a
O_{Ma}	54.19	79.36	63.0	101.33	38
Y_{Ma}	93.44	−14.18	82.59	83.8	100
L_{Ma}	82.82	−83.73	70.41	109.41	140
C_{Ma}	85.22	−55.9	−15.78	58.1	196
V_{Ma}	25.61	67.05	−108.87	127.87	302
M_{Ma}	58.76	91.18	−53.69	105.82	330
N_{Ma}	0.01	0.0	0.0	0.0	0
W_{Ma}	95.41	0.0	0.0	0.0	0
R_{CIE}	41.88	62.0	31.82	69.69	27
J_{CIE}	81.97	1.81	71.59	71.61	89
G_{CIE}	51.62	−41.11	11.52	42.7	164
B_{CIE}	29.2	−5.27	−49.33	49.62	264

%Regularität
g*H,rel = 26
g*C,rel = 45

PG500−7, 5 stufige Reihen für konstanten CIELAB Buntton 167/360 = 0.463 (links)
5 stufige Reihen für konstanten CIELAB Buntton 164/360 = 0.457 (rechts)

Eingabe: Farbmetrisches Offset-Reflektiv-System ORS18

für Buntton *h* = lab*h = 263/360 = 0.731*
*lab*tch* und *lab*nch*

D50: Buntton B
LCH*Ma: 42 47 263
olv*Ma: 0.0 0.52 1.0

Dreiecks-Helligkeit *t**

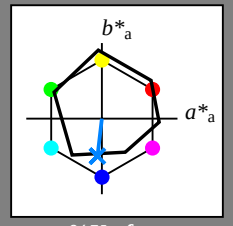

%Umfang

u*$_{rel}$ = 94

ORS18; adaptierte CIELAB-Daten

	L*=L*a	a*a	b*a	C*ab,a	h*ab,a
O_{Ma}	47.94	65.05	50.54	82.38	38
Y_{Ma}	91.0	−4.72	90.58	90.7	93
L_{Ma}	50.9	−63.18	34.98	72.22	151
C_{Ma}	56.99	−39.34	−48.1	62.16	231
V_{Ma}	25.72	30.89	−44.4	54.09	305
M_{Ma}	49.99	75.76	−4.64	75.9	356
N_{Ma}	18.09	0.0	0.0	0.0	0
W_{Ma}	95.46	0.0	0.0	0.0	0
R_{CIE}	41.88	61.66	30.69	68.88	26
J_{CIE}	81.97	2.02	67.79	67.82	88
G_{CIE}	51.62	−41.32	9.74	42.46	167
B_{CIE}	29.2	−5.79	−49.61	49.96	263

%Regularität

g*$_{H,rel}$ = 65

g*$_{C,rel}$ = 60

1,00
0,75
0,25
0,00
n* = 0,00
n* = 0,25
n* = 0,50
n* = 1,0
Schwarzheit *n**
0,25 0,50 0,75 1,00
relative Buntheit *c**

Ausgabe: Farbmetrisches Fernseh-Licht-System TLS00

für Buntton *h* = lab*h = 264/360 = 0.733*
*lab*tch* und *lab*nch*

D50: Buntton B
LCH*Ma: 61 54 264
olv*Ma: 0.0 0.59 1.0

Dreiecks-Helligkeit *t**

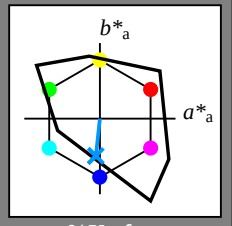

%Umfang

u*$_{rel}$ = 156

TLS00; adaptierte CIELAB-Daten

	L*=L*a	a*a	b*a	C*ab,a	h*ab,a
O_{Ma}	54.19	79.36	63.0	101.33	38
Y_{Ma}	93.44	−14.18	82.59	83.8	100
L_{Ma}	82.82	−83.73	70.41	109.41	140
C_{Ma}	85.22	−55.9	−15.78	58.1	196
V_{Ma}	25.61	67.05	−108.87	127.87	302
M_{Ma}	58.76	91.18	−53.69	105.82	330
N_{Ma}	0.01	0.0	0.0	0.0	0
W_{Ma}	95.41	0.0	0.0	0.0	0
R_{CIE}	41.88	62.0	31.82	69.69	27
J_{CIE}	81.97	1.81	71.59	71.61	89
G_{CIE}	51.62	−41.11	11.52	42.7	164
B_{CIE}	29.2	−5.27	−49.33	49.62	264

%Regularität

g*$_{H,rel}$ = 26

g*$_{C,rel}$ = 45

1,00
0,75
0,25
0,00
n* = 0,00
n* = 0,25
n* = 0,50
n* = 1,0
Schwarzheit *n**
0,25 0,50 0,75 1,00
relative Buntheit *c**

PG500−7, 5 stufige Reihen für konstanten CIELAB Buntton 263/360 = 0.731 (links)

5 stufige Reihen für konstanten CIELAB Buntton 264/360 = 0.733 (rechts)

BAM-Prüfvorlage PG50; Farbmetrik-Systeme ORS18 & ORS18 input: *olv* setrgbcolor*
D50: 2 Koordinatendaten; 5stufige Farbreihen für 10 Bunttöne output: *Startup (S) data dependend*